

# МАГНИТОРЕЗОНАНСНОЕ ПОГЛОЩЕНИЕ КОМПОЗИЦИОННЫМИ МАТЕРИАЛАМИ

С. В. Адашкевич<sup>2</sup>, А. Г. Бакаев<sup>1</sup>, М. И. Маркевич<sup>1</sup>, А. И. Гордиенко<sup>1</sup>,  
В. Ф. Стельмач<sup>2</sup> А. М. Чапланов<sup>1</sup>

---

<sup>1</sup>Физико-технический институт НАН Беларуси,

<sup>2</sup>Белорусский государственный университет, stelmach@bsu.by

## ВВЕДЕНИЕ

В настоящее время тенденция к миниатюризации элементов СВЧ ставит задачи по разработке материалов, которые обладают высокой поглощающей способностью, хорошими kleевыми, герметизирующими, термостабильными и изолирующими свойствами [1-2]. Актуальной задачей является создание композиционных материалов, позволяющих осуществлять в едином технологическом цикле сборку элементной базы и одновременно формирование локальных слоев поглотителей СВЧ-энергии, как в отдельных изделиях, так и электронных модульных устройствах.

## ОСНОВНАЯ ЧАСТЬ

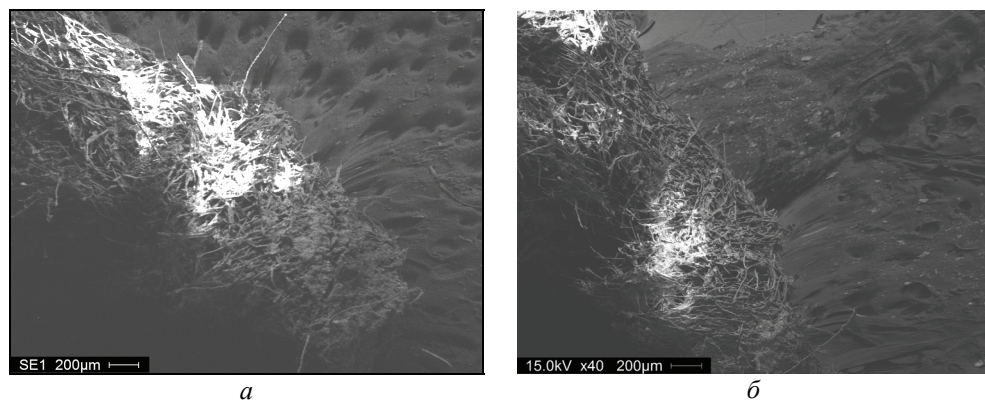
Целью данной работы является создание и диагностика композиционного материала на основе наполнителей  $\text{Fe}_3\text{O}_4$ ,  $\text{Al}_2\text{O}_3$ , оксалона, лака в качестве связующего и исследование его магниторезонансных свойств.

Структура материала представляет собой механическую смесь рубленных волокон оксалона и порошков  $\text{Fe}_3\text{O}_4$ ,  $\text{Al}_2\text{O}_3$ , распределенных в связующей матрице на основе лака. Для получения пористого материала затвердевание матрицы проводили без применения давления. Более плотный материал получали под избыточным давлением. Размеры частиц порошков составляют 40 мкм и менее.

Исследования морфологии образцов проводилось с помощью сканирующего электронного микроскопа SEM 515, имеющего систему энергодисперсионного (EDS) микроанализа в состав которой входит Si(Li) детектор со сверхультратонким окном, охлаждаемый жидким азотом, компьютер и пакет программного обеспечения Genesis SEM Quant ZAF software, использующий матрицу ZAF коррекции при осуществлении качественного и количественного анализа [4].

Исследования магнитного резонанса проводились на специализированном малогабаритном анализаторе ЭПР «Минск 22» при комнатной температуре. Рабочая длина волн – в диапазоне 3 см. Максимальное значение индукции магнитного поля – не менее 0,45 Тл. Частота модуляции магнитного поля 30 кГц. Для контроля добротности измерительного резонатора использовался кристалл рубина, закрепленный на боковой стенке. Особенностью резонатора являлось отсутствие электрической компоненты поля СВЧ в месте расположения образца [5].

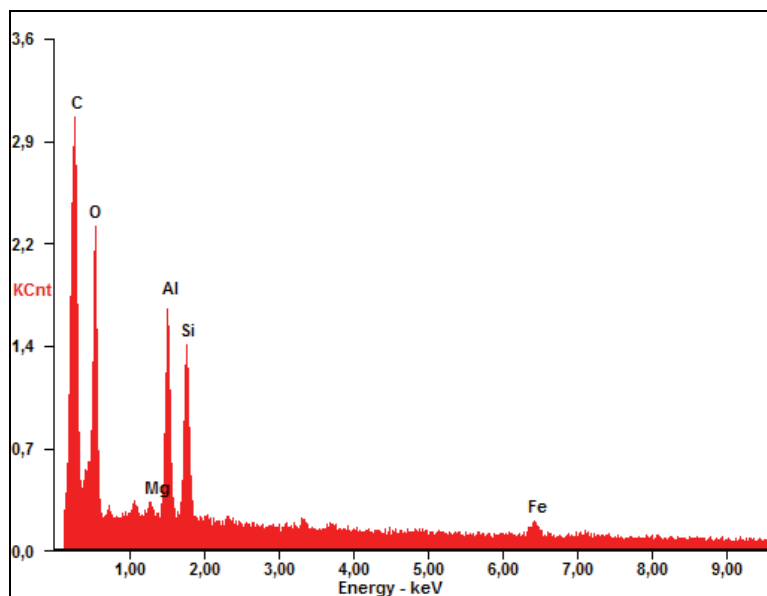
На рисунке 1 а, б приведена морфология композиционного материала, произведенного по двум технологиям без применения давления и с использованием давления.



*Rис. 1* Морфология синтезированного материала, полученного:  
а) с применением давления (образец 1); б) без применения давления (образец 2)

Данные, приведенные на рисунке 1, показывают, что материал, полученный без применения давления, имеет более пористую структуру, чем материал с применением давления. Диаметр волокна оксалона составляет~8 мкм (рис.1).

На рисунке 2 приведен элементный состав материала.



*Rис. 2* Элементный состав композиционного материала

На рисунке 3 приведены магниторезонансные спектры образцов.

Узкие линии относятся к калибровочному образцу рубина, расположенному на торцевой стенке резонатора. Из соотношения интенсивностей сигналов заполненного резонатора и калибровочного образца следует, что потери, обусловленные нерезонансным поглощением, практически отсутствуют.

Кроме того, на обоих спектрах магнитного резонанса имеется широкая одиночная резонансная несимметрическая линия, свидетельствующая о неоднородном взаимодействии между различными типами магниторезонансных центров. Значение эффективного  $g$ -фактора  $2,5 \pm 0,1$  и ширина линии  $\Delta B_1 = 127,0$  мТл (образец 1),  $\Delta B_2 = 90,0$  мТл (образец 2), что свидетельствует о наличии высокой концентрации магнитных центров в обоих материалах.

Уменьшение (в 1,5 раза) ширины линии в пористом материале при близком значении эффективных  $g$ -факторов показывает существенное уменьшение концентрации магнитных центров. Это является следствием так называемого «кислородного эффекта» [3], приводящего к уменьшению суммарной концентрации магнитных центров вследствие взаимодействия подвижного кислорода в порах с неподвижными магнитными центрами в пористых образцах.

## ВЫВОДЫ

Создан и диагностирован новый композиционный материал на основе волокна оксалона, частиц  $Fe_3O_4$ ,  $Al_2O_3$  и связующего лака. Методом ЭПР установлено, что на спектре магнитного резонанса имеется широкая одиночная резонансная, несимметрическая линия поглощения (вследствие разброса размеров частиц порошков) со значением эффективного  $g$ -фактора  $2,5 \pm 0,1$  и ширинами  $\Delta B_1 = 127,0$  мТл,  $\Delta B_2 = 90,0$  мТл. В более плотном материале кислородный эффект не проявляется. С точки зрения эффективности поглощения энергии СВЧ материал, полученный с применением давления – предпочтителен.

## ЛИТЕРАТУРА

1. Казанцева, Н.Е. Перспективные материалы для поглотителей электромагнитных волн сверхвысокочастотного диапазона / Н.Е. Казанцева, Н.Г. Рывкина, И.А. Чмутин // Радиотехника и электроника.-2003.-Т.48.-№2.-С.196-209.
2. Лыньков, Л.М. Конструкции гибких поглотителей электромагнитной энергии СВЧ диапазона/Л.М. Лыньков, Т.В. Борбелько, В.А. Богуш, Н. В. Колбун, Н.В. //Доклады БГУИР.- 2003.- Т.1.-№1.-92-102 с.
3. Stelmakh, V. Oxygen influence on EPR spectra of carbon materials /V. Stelmakh [et. all] // Polish Journal of applied chemistry. 2000. XLIV, N 4. P. 227-234.
4. Гоулдстейн, Д. Растворная электронная микроскопия и рентгеновский микроанализ/ Д. Гоулдстейн – М.: Мир, 1984. – 303 с.
5. Акунец В.В. Анализатор электронного парамагнитного резонанса: Учебно-справочное пособие / В.В. Акунец, В.Ф. Стельмах, Л.В. Цвирко // Минск: УП «Технопринт». 2002. 102 с.

## ЭПР И ФОТОПРОВОДИМОСТЬ В КРИСТАЛЛАХ СТМ АЛМАЗОТ

**И. И. Азарко, С. В. Григорьев, Н. М. Казючиц,  
И. А. Карпович, О. Н. Янковский**

---

*Белорусский государственный университет, azarko@bsu.by*

## ВВЕДЕНИЕ

В Республике Беларусь на протяжении нескольких десятков лет производятся синтетические алмазы, причем как крупные монокристаллы, так микро- и нанопорошки. ЭПР является экспрессным и в тоже время эффективным методом выявления точечных дефектов или кластерных ассоциатов в кристаллах алмаза. Явление фотопроводимости наиболее близко моделирует процессы, происходящие в детекторах ионизирующих излучений, и используется для отбора алмазов «детекторного качества». В данной работе продолжено исследование кристаллов СТМ Алмазот, выращенных по стандартной технологии на РУП Адамас БГУ[1]. Ранее [2] было показано, что кристаллы алмаза характеризуются неоднородным распределением примесей азота и никеля, максимальное содержание которых наблюдается в центральной области кристалла в окрестности затравки.

## ОСНОВНАЯ ЧАСТЬ

Целью данной работы является выявление закономерностей распределения примеси азота и никеля в парамагнитном состоянии в -кристаллах СТМ Алмазот.

Исследования исходных кристаллов и вырезанных из них пластин проводились методом электронного парамагнитного резонанса (ЭПР) и с помощью спектроскопии поглощения в ИК области. Спектры поглощения измеряли в центральной области и на краю пластин. Диаметр области зондирования составлял 1,1 мм. Фоточувствительность пластин к излучению дейтериевой лампы оценивалась по измерениям величины фотопроводимости в окрестности локальных «точечных» контактов из серебряной пасты, нанесенных на освещаемую поверхность пластины. Напряжение смещения прикладывалось между точечным контактом на освещаемой поверхности и сплошным контактом на неосвещаемой поверхности. С использованием спектро-